



پژوهش و فناوری محیط‌زیست

وبگاه نشریه: www.journal.eri.acer.ir

شاپا الکترونیکی: ۲۶۷۶-۳۰۶۰

پژوهشکده محیط‌زیست

بررسی تصفیه‌پذیری پساب صنایع غذایی آماده با فرایند شیمیایی انعقاد و لخته‌سازی

میترا غلامی مقدم^۱، فریبا استوار^{۲*}، محدثه توکلی^۳

۱- کارشناسی ارشد مهندسی عمران-محیط‌زیست، موسسه آموزش عالی جهاد دانشگاهی رشت، گیلان، ایران

۲- دکتری شیمی تجزیه، پژوهشکده محیط‌زیست جهاد دانشگاهی، گیلان، ایران

۳- کارشناس پژوهشی، پژوهشکده محیط‌زیست جهاد دانشگاهی، گیلان، ایران

اطلاعات مقاله	چکیده
نوع مقاله:	هدف از این پژوهش، بررسی تصفیه‌پذیری پساب صنایع غذایی آماده با استفاده از فرایند شیمیایی انعقاد و لخته‌سازی بود. در این فرایند از منعقد کننده فریک کلراید (FeCl_3) به همراه کمک منعقد کننده‌های پلی آکریل آمید و آهک استفاده شد. بهمنظور بررسی اثر متقابل پارامترهای تأثیرگذار بر فرایند تصفیه، نرمافزار طراحی آزمایش (DOE) به مدل مرکزی (CCD) مورد استفاده قرار گرفت. عوامل تأثیرگذار بر فرایند انعقاد و لخته‌سازی از قبیل غلظت منعقد کننده FeCl_3 در محدوده ۵۰۰-۵۰۰ mg/L، pH ۵-۱۰، کمک منعقد کننده‌ی آهک و پلی کتروولیت به ترتیب با غلظت‌های ۱۰۰-۲۵ mg/L و ۲/۵-۵/۵ mg/L توسط دستگاه جارتست مورد بررسی قرار گرفتند. برای تعیین مقادیر بهینه، میزان اکسیژن خواهی شیمیایی (COD) به عنوان آرزویی هدف انتخاب شد. مقایسه شرایط بهینه تک‌عامله و اثر مقابل داده‌ها با استفاده از نرمافزار آزمون هدف انتخاب شد. مقادیر بهینه COD برابر ۷/۵ و غلظت منعقد کننده FeCl_3 به مقدار ۱۲۵۰ mg/L و کمک منعقد کننده‌های آهک و پلی کتروولیت به ترتیب با غلظت‌های ۱/۵ و ۶۰ mg/L، راندمان حذف COD برابر ۱۵/۹۴٪ را نشان داد. بررسی‌های آماری نشان داد، مقدار F-value برابر ۴/۱۹، نشان دهنده مطابقت خوب این مدل با نتایج آزمایشگاهی است. همچنین، مقادیر P-value کمتر از ۰/۰۵، بیانگر معنی‌دار بودن آزمایش است. با مقایسه نتایج آزمایشگاهی و نتایج پیش‌بینی شده نرمافزار، همبستگی خوبی بین نتایج مشاهده گردید. درنهایت، نتایج حاصل از پژوهش نشان داد که تصفیه‌ی پساب کارخانه‌ی صنایع غذایی با استفاده از منعقد کننده FeCl_3 امکان‌پذیر بوده و پساب تصفیه شده، استانداردهای تخلیه به زمین‌های کشاورزی برای آبیاری مزارع را دارد.
تاریخ دریافت:	۱۴۰۲/۰۹/۲۶
تاریخ پذیرش:	۱۴۰۳/۰۵/۲۹
دسترسی آنلاین:	۱۴۰۳/۰۶/۳۰
کلید واژه‌ها:	پساب، صنایع غذایی آماده، انعقاد و لخته‌سازی، جارتست، آهن (III) کلراید، COD



Investigating the treatability of prepared food industry wastewater using the chemical process of coagulation and flocculation

Mitra Gholami Moghadam¹, Fariba Ostovar^{*2}, Mohadeseh Tavakoli³

- 1- MSc in Civil-Environmental Engineering, Higher Education Research Institute of ACECR, Rasht, Iran
2- PhD in Analytical Chemistry, Environmental Research Institute of ACECR (Academic Center for Education, Culture and Research), Rasht, Iran
3- Research expert, Environmental Research Institute of ACECR (Academic Center for Education, Culture and Research), Rasht, Iran

Article Info

Abstract

Article type:
Research Article

This research aims to investigate the treatability of prepared food industry wastewater using the chemical process of coagulation and flocculation. Ferric chloride (FeCl_3) coagulant was used in this process along with polyacrylamide and lime flocculant aids. In order to investigate the mutual effect of the parameters affecting the treatment process, the design of experiments (DOE) software with the central composite model (CCD) was used. Effecting factors on the coagulation and flocculation process such as FeCl_3 coagulant concentration in the concentration range of 500-2000 mg/L, initial pH in the range of 5-10, lime and polyelectrolyte with the concentration ranges of 25-100 mg/L and 0.5-2.5 mg/L respectively were evaluated by Jartest device. Chemical oxygen demand (COD) analysis was chosen as the target test to determine the optimal values. Comparison of optimal conditions of single agent and mutual effect of data using experiment design software, an optimal value of pH equal to 7.5, FeCl_3 coagulant concentration of 1250 mg/L, and coagulants of lime and polyelectrolyte with concentrations of 60 and 1.5 mg/L respectively, showed COD removal efficiency of 94.15%. Statistical analysis showed that the F-value equal to 19.48 indicates the good agreement of this model with the laboratory results. Also, P-values less than 0.050 indicate the significance of the test. By comparing the laboratory and the predicted results, a good correlation between the results was observed. Finally, the results of this research showed that it is possible to treat the wastewater of the food industry using FeCl_3 coagulant, and the treated wastewater meets the standards of discharge to agricultural lands for fields irrigation.

Article history:
Received:
17/12/2023
Accepted:
19/08/2024
Available online:
20/09/2024

Keywords:
Wastewater,
prepared food
industry,
coagulation and
flocculation,
jar test,
iron (III) chloride,
COD

* Corresponding author E-mail address: f_os_46@yahoo.com

مقدمه

به طور کلی، پساب‌های صنعتی به دلیل پایین بودن نمک‌های معدنی محلول نسبت به آب دریاها، جزء آب‌های شیرین اما آلوده محسوب می‌شود. استفاده‌دهی مجدد و بهره‌گیری از پساب تصفیه شده به جای آب شیرین برای آبیاری، کشاورزی، فضاهای سبز و... دارای فواید اقتصادی فراوانی بوده و در مقایسه با شیرین‌سازی آب شور دریاها به مرتبه ارزان‌تر است. این مسئله در کشور ما که در بسیاری از نقاط آن مردم با کمبود آب شیرین مواجه هستند؛ حائز اهمیت بوده و از مصرف آب آشامیدنی برای کشاورزی جلوگیری می‌کند (Alkhamisi, Ahmed, & Change, 2014; Amin, Al Bazedi, & Abdel-Fatah, 2021).

صنایع غذایی به صنایع اطلاق می‌شود که مواد خوراکی موردنیاز برای انسان و یا حیوانات را تأمین می‌کند. طی قرن گذشته، رشد عظیمی در مصرف آب فرآیندهای صنعتی روی داده است. از لحاظ خصوصیات پساب، تنوع زیادی در مورد پساب‌های صنایع غذایی مشاهده می‌شود. صنایع غذایی^۱ به عنوان یکی از بزرگ‌ترین مصرف‌کنندگان آب در جهان شناخته می‌شوند که میزان زیادی از فاضلاب را تولید می‌کنند. پساب تولیدی مواد غذایی و فعالیت‌های کشاورزی منبع اصلی آلودگی محیط زیست است. حضور آلاینده‌های سمی در جریان پساب از جمله مواردی است که می‌تواند در پساب صنایع غذایی مهم تلقی شود (Jia et al., 2020; Mateus, Torres, Marimon-Bolívar, Pulgarín, & Industry, 2021; Pervez et al., 2021).

همچنین مدیریت آن در بین سخت‌ترین و پرهزینه‌ترین پساب‌ها است زیرا فاضلاب فرآوری مواد غذایی می‌تواند حاوی مقداری زیادی مواد مغذی، کربن آلی، مواد آلی نیتروژن دار، مواد معدنی، جامدات معلق و محلول باشد و به همین دلیل از نظر بیوشیمیابی و شیمیابی اکسیژن زیادی دارد. این فاضلاب می‌تواند آلودگی و خطراتی برای محیط زیست و حیات دریایی ایجاد کند. تصفیه فاضلاب صنایع غذایی به منظور حفاظت از منابع آب و سلامت محیط زیست بسیار حیاتی است. علاوه بر این، تصفیه فاضلاب صنایع غذایی می‌تواند به کاهش هزینه‌های صنایع غذایی برای دفع فاضلاب و همچنین بهبود شرایط بهداشتی کارکنان و جامعه محلی کمک کند (Hernández, Muro, Ortega, Velazquez, & Riera, 2021).

روش‌های مختلفی به منظور تصفیه پساب‌های صنایع غذایی مورد استفاده قرار گرفته است. به عنوان مثال، هو^۲ و همکاران در سال ۲۰۲۲ میلادی، حذف COD پساب از کربن‌سازی هیدرورترمال ضایعات مواد غذایی با استفاده از انعقاد جذب کربن فعال ترکیبی را مورد بررسی قرار دادند. این مطالعه، جذب کربن فعال ترکیبی (AC) را برای کاهش COD در پساب به منظور ارتقای زیست‌تخربی‌پذیری آن، مورد بررسی قرار داد. نتایج تجزیی نشان دادند که پلی‌آلومینیوم سولفات آهن (PAFS) و پلی‌اکریل‌آمید (PAM) به ترتیب، منعقد کننده و کمک‌منعقد کننده بھینه بوده و با AC و PAM و PAFS که به ترتیب مقدار 6 g/L , 1 g/L , 3 g/L بودند؛ می‌توانند موجب کاهش غلظت COD تا $68/41\%$ شوند (Hu et al., 2022)).

همچنین، محمد^۳ و همکاران نیز در سال ۲۰۲۱ میلادی، تصفیه‌ی پساب صنایع غذایی و آشامیدنی با استفاده از تصفیه‌ی پساب معمولی ادغام شده با سیستم بیوراکتور غشایی را بررسی کردند. پیکربندی غشای HF و FS در دو سطح مختلف جامدات معلق مخلوط مایع (MLSS) مورد ارزیابی قرار گرفت و به ترتیب برابر با 6000 ml/L و 12000 ml/L شد. نتایج نشان داد که میزان COD و TSS برای انواع غشای HF و FS، برای دو سطح مختلف MLSS بیش از 84% بود. هر دو نوع MBR به طور مداوم به میزان COD و TSS بین 80% تا 95% دست یافتند. (Muhamad Ng, Idrus, Ahsan, Tuan, Mohd Marzuki, & Mahat, 2021)

¹ Food Industry

² Hu

³ Muhamad

یکی از مهم‌ترین مواد در تصفیه آب و فاضلاب منعقد کننده‌ها هستند. مکانیزم آن‌ها به‌گونه‌ای است که به ذرات جامد می‌چسبند و باعث تهنشینی آن‌ها می‌شوند. از منعقد کننده‌ها برای بی‌نظمی تعلیق کلولئیدی و خنثی کردن مواد جامد معلق استفاده می‌شود. به‌طور کلی انعقاد یا کواگولاسیون یک فرآیند شیمیایی است که منعقد کننده در آن به‌عنوان ماده شیمیایی برای حذف ذرات معلق جامد، شفافسازی آب، آهک زنی، ضخیم شدن لجن، حذف رنگ (مواد آلی طبیعی)، آلک (فیتوپلانکتون) باکتری‌ها و ویروس‌ها و آبگیری لجن، مورد استفاده قرار می‌گیرد (Balbinoti et al., 2023; Kaur, Garg, & Singh, 2021; Shrivastava, Ali, Marjub, Rene, & Soto, 2022). در این فرآیند از نرم‌افزارهای طراحی آزمایش برای شرایط بهینه استفاده می‌شود.

طراحی آزمایش، مجموعه اقداماتی است که توسط مدل‌سازی و بهینه‌سازی متغیرهای واکنش از طریق روش‌های آماری انجام می‌شود (Abubakar, Okonkwo, Edomwonyi-Otu, & Research, 2023). طراحی آزمایش، شامل یک سری از آزمایش‌ها است که در آن به‌طور آگاهانه در متغیرهای ورودی فرایند، تغییراتی ایجاد می‌گردد تا از این طریق، مقدار تغییرات حاصل، در پاسخ خروجی فرایند مشاهده و شناسایی شود. از مزایای طراحی آزمایش می‌توان به کاهش هزینه، کاهش تعداد آزمون، بررسی جامع سیستم مورد مطالعه و امکان بهینه‌سازی سیستم در مقادیر مطلوب پاسخ‌ها یا متغیرهای ورودی اشاره کرد (Popoola, 2019; طاهریون & پور، ۲۰۱۹).

در این مطالعه، از روش طراحی آزمایش مرکب مرکزی (CCD) که یکی از استانداردهای روش سطح پاسخ است، استفاده شده تا میزان بهینه‌شده‌ی پارامترهای تأثیرگذار بر میزان حذف غلظت COD پساب کارخانه صنایع غذایی، با استفاده از منعقد کننده فریک کلراید (FeCl_3) و کمک‌منعقده‌ها مشخص گردد (کوهستانی، اسلامی‌زاده، رامین، ۲۰۱۹). روش‌های مرکب مرکزی و باکس بنکن از روش‌های اصلی طراحی سطح پاسخ می‌باشند. در این بین، روش طرح مرکب مرکزی از اعتبار بیشتری برخوردار است. در این مدل با دقت بیشتری می‌توان اثر ترمehای درجه اول، درجه دوم و برهمکنش آن‌ها در پاسخ نهایی را بررسی کرد. علاوه بر این، روش CCD طیف بسیار وسیعی از تغییرات در مقادیر ورودی‌ها و پاسخ‌ها را در فضای سطحی و حجمی (دو و سه بعدی) می‌تواند توصیف کند. لذا، در این پژوهش از روش CCD به‌منظور مدل‌سازی، تجزیه و تحلیل و بهینه‌سازی فرایند استفاده شد و بررسی‌های آماری انجام گرفت (Atta, Hummadi, M-Ridha, & TREATMENT, 2022; Fitriani, Mohamed, Affandi, Nurdin, & Kurniawan, 2023; Gulzamana & Baloo, 2021).

مواد و روش‌ها

این مطالعه از نوع بنیادی- کاربردی بوده و در آزمایشگاه آب، فاضلاب و میکروبی مرکز تحقیقات پژوهشکده محیط زیست جهاد دانشگاهی واحد گیلان انجام شد و هدف آن بررسی کارایی فرایند تصفیه شیمیایی به روش انعقاد و لخته‌سازی با استفاده از منعقد کننده FeCl_3 برای تصفیه‌ی پساب صنایع غذایی بیرون‌بر بود. به‌منظور بررسی تصفیه‌پذیری پساب صنایع غذایی (تولید غذای آماده) از فرایند انعقاد و لخته‌سازی و با استفاده از نرم‌افزار طراحی آزمایش با مدل CCD جهت مطالعه‌ی اثر پنج متغیر ورودی مستقل و تعیین میزان حذف غلظت COD استفاده شد. با استفاده از روش‌های طراحی آزمایش، برخلاف روش‌های معمول می‌توان تغییر همزمان دو یا چند فاکتور را مورد بررسی قرار داد. همچنین، با روش طراحی آزمایش می‌توان نحوه و میزان تأثیر فاکتورهای مختلف بر پاسخ را بررسی کرد و شرایط آزمایش را به سمت بهترین راندمان سوق داد (Bayuo, Abukari, & Pelig-Ba, 2020; Gasemloo, Khosravi, Sohrabi, Dastmalchi, & Gharbani, 2019).

پارامترهای pH، غلظت منعقدکننده و غلظت کمکمنعقدکنندها (پلیالکتروولیت و آهک) به عنوان متغیر مستقل انتخاب شدند. در حالی که، غلظت باقیمانده COD، پاسخ خروجی مدنظر بود. این روش توانست با حداقل تعداد آزمایش، تأثیر پارامترهای مختلف فرایند انعقاد و لخته‌سازی را مورد بررسی قرار دهد. آزمون CCD از روش‌های متداول سطح پاسخ است. در این روش، تمام فاکتورها در ۵ سطح مطالعه می‌شوند و امکان تصفیه‌پذیری پساب کارخانه‌ی صنایع غذایی و اثر آن بر حذف غلظت COD به عنوان پارامتر هدف با استفاده از منعقدکننده‌های شیمیابی، موردمطالعه قرار گرفت.

به منظور انجام آزمایش‌های مذکور، محلول FeCl_3 به عنوان منعقدکننده در محدوده غلظتی $500\text{-}2000 \text{ mg/L}$ ، و کمک-منعقدکننده‌ی آهک و پلی الکتروولیت به ترتیب با غلظت‌های $100\text{-}25 \text{ mg/L}$ و $2/5\text{-}1/5 \text{ mg/L}$ مورد بررسی قرار گرفتند. جهت تنظیم pH، محلول‌های اسید هیدروکلریک (HCl) و سدیم هیدروکسید (NaOH) در گستره‌ی غلظتی $1/1 \text{ mol L}^{-1}$ -۰/۰ استفاده شد. متغیرهای مورد بررسی شامل pH اولیه‌ی پساب، غلظت منعقدکننده و غلظت کمکمنعقدکننده‌های پلی-الکتروولیت و آهک به عنوان سطوح موردنظر ارزیابی شدند. پس از بررسی pH اولیه‌ی پساب، تنظیم pH در محدوده $5\text{-}10$ زمان ۲۰ min با دور آهسته‌ی ۳۰ rpm انجام شد. جدول ۱ فاکتورهای آزمایشی و سطوح آن‌ها را نشان می‌دهد. پس از پایان انجام گرفت و فرآیند انعقاد و لخته‌سازی با استفاده از دستگاه جارتست، انعقاد تند در دور 120 rpm و انعقاد کند در مدت زمان ۲۰ با دور آهسته‌ی 30 rpm انجام شد. نمونه مورد بررسی فیلتر شد و مقدار غلظت COD باقیمانده محاسبه گردید. در نهایت، پس از تعیین شرایط بهینه تصفیه، پارامترهای نیترات، فسفات، آمونیاک، کدورت، منگنز، آهن، روغن و چربی، هدایت الکتریکی، کل جامدات محلول و pH پساب خام و تصفیه شده، بررسی شدند.

جدول (۱) فاکتورهای آزمایشی مورد مطالعه و سطوح آن‌ها

سطوح فاکتورها					فاکتور
-۲	-۱	۰	۱	۲	
۱۰	۹	۷/۵	۶	۵	pH
۲۰۰۰	۱۷۵۰	۱۲۵۰	۸۰۰	۵۰۰	$\text{FeCl}_3 (\text{mg/L})$
۱۰۰	۸۵	۶۰	۴۰	۲۵	Lime (mg/L)
۲/۵	۲	۱/۵	۱	۰/۵	Poly (mg/L)

ماتریس طرح مركب مرکزی به منظور بررسی پارامترهای تأثیرگذار در فرآیند انعقاد و لخته‌سازی با استفاده از منعقد کننده آهن(III) کلرید، در جدول ۲ نشان داده شده است.

جدول (۲) ماتریس طرح آزمایشی مركب مرکزی برای فاکتورهای آزمایشی کددار شده (منعقدکننده‌ی آهن(III) کلرید)

pH	FeCl_3	آهک	پلی الکتروولیت	آزمایش
۷/۵	۱۲۵۰	۲۵	۱/۵	۱
۵	۱۲۵۰	۶۰	۱/۵	۲
۱۰	۱۲۵۰	۶۰	۱/۵	۳
۷/۵	۱۲۵۰	۶۰	۱/۵	۴
۶	۱۷۵۰	۴۰	۲	۵
۶	۱۷۵۰	۴۰	۲	۶

pH	FeCl ₃	آهک	پلی الکترولیت	آزمایش
۹	۱۷۵۰	۸۵	۱	۷
۷/۵	۱۲۵۰	۶۰	۲/۵	۸
۶	۸۰۰	۸۵	۱	۹
۷/۵	۱۲۵۰	۶۰	۱/۵	۱۰
۷/۵	۵۰۰	۶۰	۱/۵	۱۱
۹	۸۰۰	۴۰	۱	۱۲
۷/۵	۱۲۵۰	۶۰	۱/۵	۱۳
۶	۸۰۰	۸۵	۲	۱۴
۷/۵	۲۰۰۰	۶۰	۱/۵	۱۵
۷/۵	۱۲۵۰	۶۰	۱/۵	۱۶
۷/۵	۱۲۵۰	۶۰	۰/۵	۱۷
۷/۵	۱۲۵۰	۱۰۰	۱/۵	۱۸
۹	۱۷۵۰	۸۵	۲	۱۹
۷/۵	۱۲۵۰	۶۰	۱/۵	۲۰
۹	۸۰۰	۴۰	۲	۲۱

یافته‌های پژوهش

آنالیز و شناسایی پساب خام

ابتداء، به منظور شناسایی پساب خام صنایع غذایی که از نوع بیرون بر است؛ آنالیز پارامترهای فیزیکی و شیمیایی و ترکیبات موجود در پساب انجام گرفت. فاکتورهای مهم در پساب مانند COD، EC، آمونیاک، نیترات، فسفات، کدورت، چربی و روغن^۱، و TDS مورد آنالیز و بررسی قرار گرفت. هر آزمایش سه بار تکرار و میانگین و انحراف استاندارد آنها گزارش شد. نتایج حاصل از این بررسی در جدول ۳ نشان داده شده است.

جدول (۳) میانگین و انحراف استاندارد پساب کارخانه‌ی تولید غذای آماده

O&G	فسفات (mg/L)	نیترات (mg/L)	آمونیاک (mg/L)	کدورت	COD (mg/L)	TDS (mg/L)	EC (mS/cm)	داده آماری
۱۴۸/۵۴	۷/۰۳	۱۴۳/۲۰	۵/۸۰	۵۸/۳۰	۱۸۰۰/۰۷	۸۷۴/۳۳	۱/۳۹	میانگین
۱/۱۴	۰/۰۸	۱/۷۸	۰/۰۴	۰/۵۹	۰/۹۱	۴/۱۱	۰/۰۰۴	انحراف استاندارد

بررسی فرآیند تصفیه پساب صنایع غذایی

در این بررسی، از منعقدکننده‌ی شیمیایی آهن (III) کلرید (FeCl₃) استفاده شد. از کمک منعقدکننده‌ی پلیمری پلی‌اکریل-آمید (پلی الکترولیت) و کمکمنعقد کننده‌ی آهک جهت جداسازی رسوبات استفاده گردید. طراحی آزمایش با نرم افزار

^۱ Oil & Grease: O&G

Design Expert با مدل CCD انجام شد و اثر پارامترهای تأثیرگذار بر فرایند تصفیه مورد ارزیابی قرار گرفت. از آنجایی که مهمترین پارامتر درجهت تخلیه‌ی پساب تصفیه شده به محیط پذیرنده، COD است، این پارامتر بعنوان پارامتر هدف، انتخاب شد. بررسی‌های اولیه جهت تعیین محدوده پارامترهای مورد مطالعه انجام شد و سپس طراحی آزمایش مطابق با نتایج اولیه آزمایشگاهی توسط نرم‌افزار انجام گرفت (Hu et al., 2022). جدول مربوط به طراحی آزمایش انجام شده به همراه راندمان حذف، در جدول ۴ نشان داده شده است.

جدول (۴) ماتریکس طراحی آزمایش و راندمان حذف COD به دست آمده از منعقدکننده‌ی FeCl_3

COD راندمان حذف	COD (mg/L)	pH	Poly (mg/L)	Lime (mg/L)	FeCl_3 (mg/L)	Run
%۸۶/۷۸	۲۳۷/۹۶	۷/۵	۱/۵	۲۵	۱۲۵۰	۱
%۸۷/۹۱	۲۱۷/۵۹	۱۰	۱/۵	۶۰	۱۲۵۰	۲
%۸۶/۵۷	۲۴۱/۶۶	۵	۱/۵	۶۰	۱۲۵۰	۳
%۹۲/۷۴	۱۳۰/۵۵	۷/۵	۱/۵	۶۰	۱۲۵۰	۴
%۸۰/۱۹	۳۵۶/۴۸	۹	۲	۴۰	۱۷۵۰	۵
%۸۲/۹۷	۳۰۶/۴۸	۹	۲	۴۰	۱۷۵۰	۶
%۷۶/۲۸	۴۲۶/۸۵	۶	۱	۸۵	۱۷۵۰	۷
%۸۷/۰۸	۲۳۲/۴	۷/۵	۲/۵	۶۰	۱۲۵۰	۸
%۸۴/۸۲	۲۷۳/۱۴	۹	۱	۸۵	۸۰۰	۹
%۹۳/۲۶	۱۲۱/۲	۷/۵	۱/۵	۶۰	۱۲۵۰	۱۰
%۷۵/۹۷	۴۳۲/۴۰	۷/۵	۱/۵	۶۰	۵۰۰	۱۱
%۸۶/۴۸	۲۴۳/۵۱	۶	۱	۴۰	۸۰۰	۱۲
%۹۴/۱۵	۱۰۵/۱۷	۷/۵	۱/۵	۶۰	۱۲۵۰	۱۳
%۸۲/۱۵	۳۲۱/۲۹	۹	۲	۸۵	۸۰۰	۱۴
%۸۱/۲۲	۳۳۷/۹۶	۷/۵	۱/۵	۶۰	۲۰۰۰	۱۵
%۹۴/۰۸	۱۰۶/۴۸	۷/۵	۱/۵	۶۰	۱۲۵۰	۱۶
%۸۷/۶۰	۲۲۳/۱۴	۷/۵	۰/۵	۶۰	۱۲۵۰	۱۷
%۸۹/۷۹	۱۸۴/۲۵	۷/۵	۱/۵	۱۰۰	۱۲۵۰	۱۸
%۸۹/۹۵	۱۸۰/۸۸	۶	۲	۸۵	۱۷۵۰	۱۹
%۹۳/۶۰	۱۱۵/۰۵	۷/۵	۱/۵	۶۰	۱۲۵۰	۲۰
%۸۳/۶۹	۲۹۳/۵۱	۶	۲	۴۰	۸۰۰	۲۱

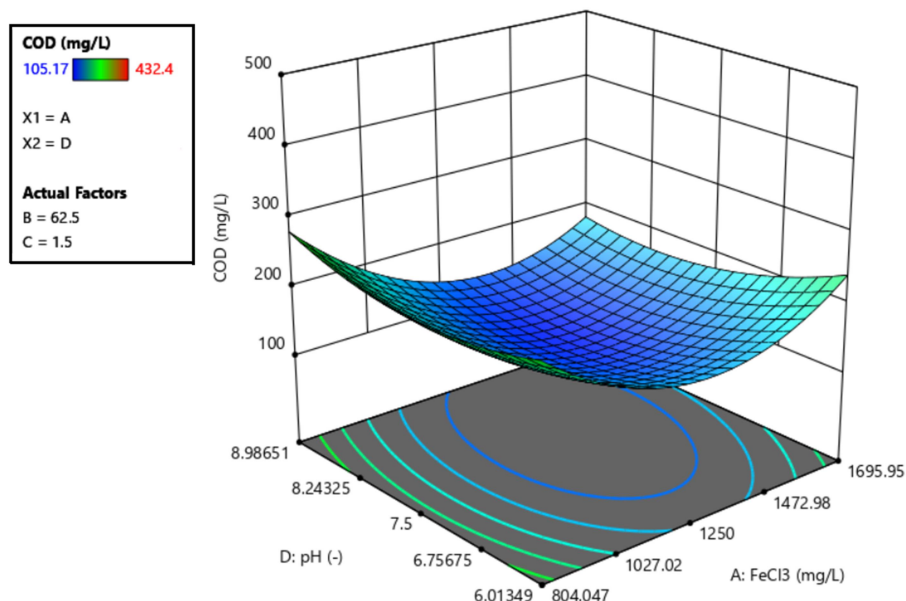
تأثیر پارامترهای عملیاتی در فرآیند تصفیه‌ی پساب مواد غذایی

در این بخش به مطالعه و بررسی اثر متقابل پارامترهای عملیاتی که شامل pH، کمکمنعقدکننده‌ها و منعقدکننده FeCl_3 است، پرداخته شد.

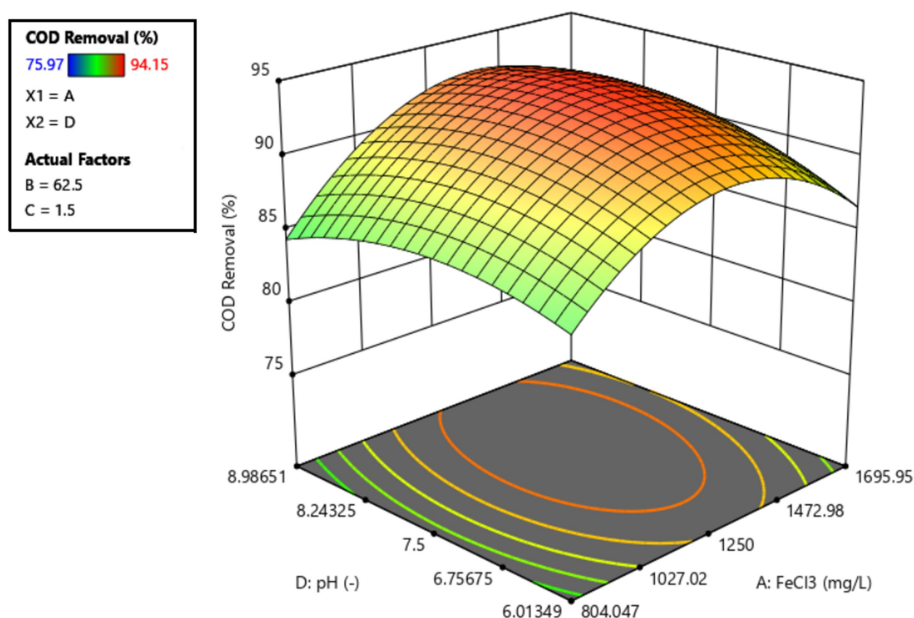
اثر متقابل pH و غلظت منعقد کننده FeCl_3

یکی از مهمترین پارامترهای تأثیرگذار بر راندمان حذف آلاینده‌های مختلف در تصفیه‌ی پساب، pH است که بر ظرفیت جذب و تجزیه‌ی ترکیبات هدف و توزیع بار الکترویکی مؤثر است. براساس مطالعات گذشته، pH نقش قابل توجهی در حذف غلظت

COD داشته است. در این مطالعه، به منظور بررسی اثر pH بر واکنش، مقدار اولیه‌ی آن در محدوده ۵-۱۰ با استفاده از برنامه‌ی طراحی آزمایش مورد بررسی قرار گرفت. ابتدا، بررسی اثر متقابل تغییرات غلظت منعقد کننده FeCl_3 در محدوده‌ی غلظتی ۵۰۰-۲۰۰۰ mg/L و تغییرات pH در محدوده ۱۰-۵ نمونه انجام شد. شکل‌های ۱ و ۲ بررسی حذف غلظتی و راندمان درصدی COD را نشان می‌دهد.



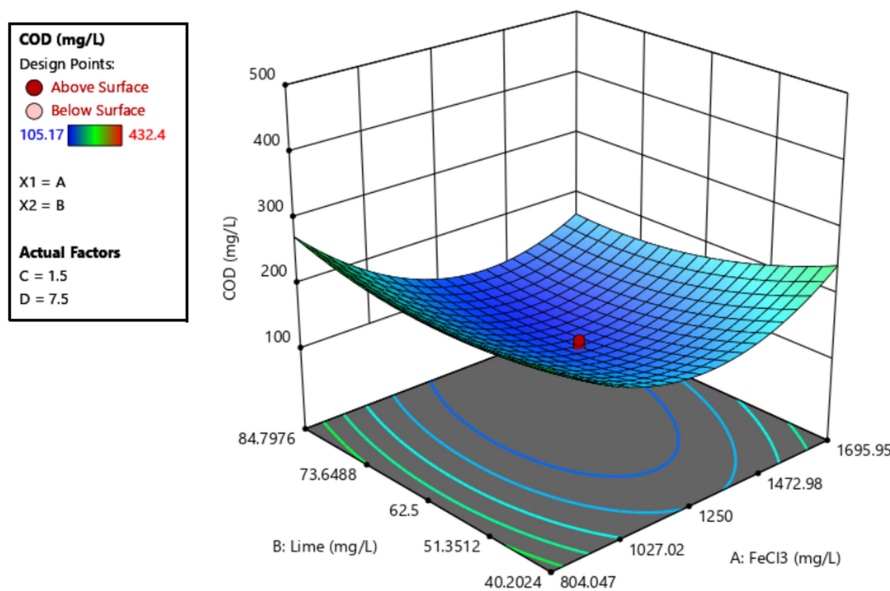
شکل (۱) تأثیر متقابل pH و غلظت FeCl_3 بر میزان حذف غلظتی COD



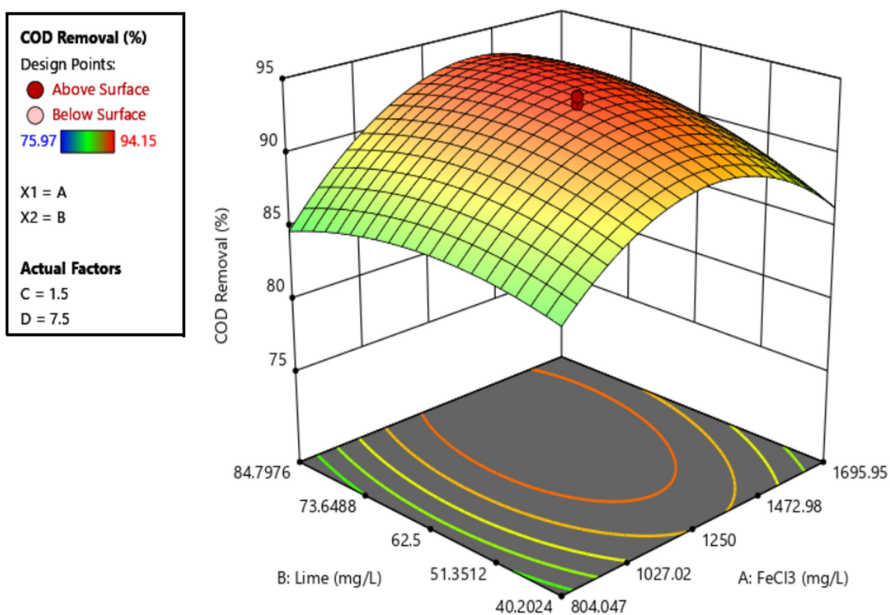
شکل (۲) بررسی میزان حذف غلظت COD با تغییر میزان pH و غلظت FeCl_3

اثر متقابل غلظت منعقد کننده آهک و کمک منعقد کننده آهک

پس از تعیین غلظت بهینه‌ی منعقد کننده pH بهینه، اثر متقابل تغییرات غلظت منعقد کننده FeCl_3 و کمک منعقد کننده آهک در pH و مقدار کمک منعقد کننده پلیمری ثابت به ترتیب برابر $7/5 \text{ mg/L}$ و $1/5 \text{ mg/L}$ مورد بررسی قرار گرفت. مقادیر تغییرات غلظتی منعقد کننده و کمک منعقد کننده به ترتیب در بازه‌ی $25\text{--}100 \text{ mg/L}$ و $500\text{--}2000 \text{ mg/L}$ قرار گرفت. نتایج حاصل در شکل‌های ۳ و ۴ نشان داده شده است.



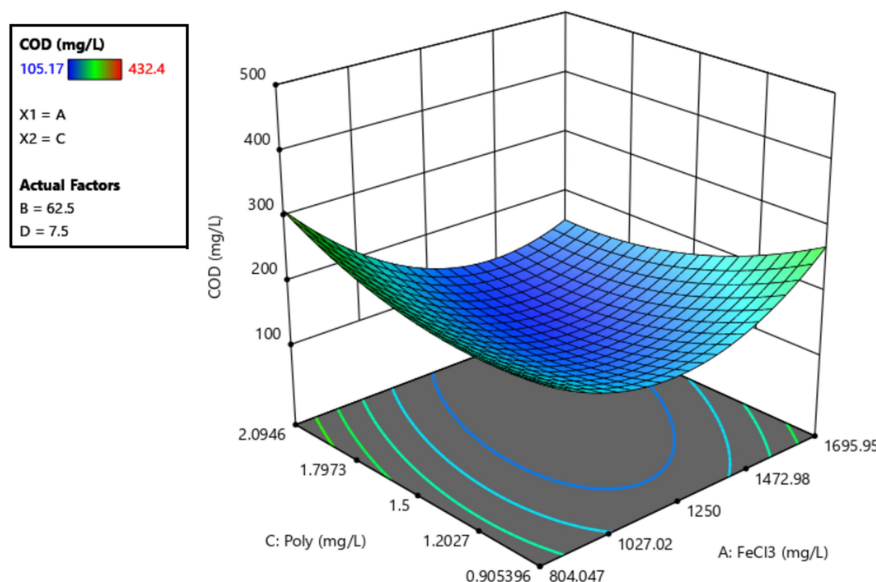
شکل (۳) تأثیر متقابل غلظت FeCl_3 و آهک بر میزان حذف غلظتی COD



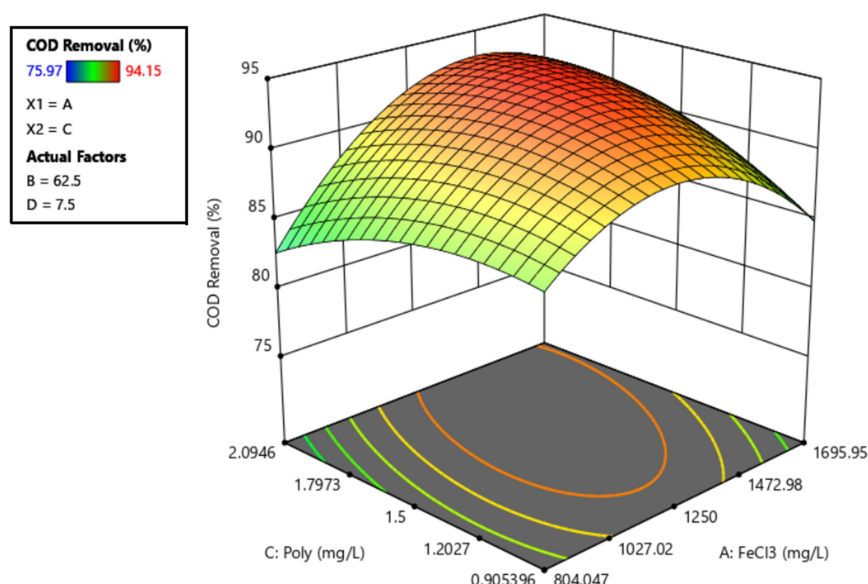
شکل (۴) بررسی حذف میزان غلظت COD با تغییر غلظت FeCl_3 و آهک

اثر متقابل غلظت منعقد کننده FeCl_3 و کمک منعقد کننده پلی‌آکریل آمید

همچنین، بررسی اثر متقابل تغییرات غلظت منعقد کننده FeCl_3 و کمک منعقد کننده پلی‌الکترولیتی نیز، درجهت تعیین تأثیر کمک منعقد کننده پلی‌آکریل آمید در فرایند تصفیه‌ی پساب صنایع غذایی بیرونبر و تأثیر متقابل دو پارامتر در بازه‌ی غلظتی 2 mg/L - 500 mg/L موردارزیابی قرار گرفت. در این آزمون‌ها، غلظت منعقد کننده در محدوده‌ی 2000 mg/L - 500 mg/L و غلظت کمک منعقد کننده در مقدار ثابت 62.5 mg/L تنظیم شد و pH نمونه‌ی پساب اولیه در مقدار ثابت 7.5 قرار داده شد. شکل‌های ۵ و ۶ بررسی میزان حذف غلظتی و درصدی COD با استفاده از منعقد کننده FeCl_3 و کمک منعقد کننده پلی‌الکترولیت را نشان می‌دهد.



شکل (۵) تأثیر متقابل غلظت FeCl_3 و پلی‌الکترولیت بر میزان حذف غلظتی COD



شکل (۶) بررسی حذف میزان غلظت COD با تغییر غلظت FeCl_3 و پلی‌الکترولیت

نتایج آنالیز واریانس

نتایج آماری ANOVA

یکی از ابزارهای پرکاربرد در تحقیقات آماری، تحلیل واریانس^۱ است. در این روش سعی بر این است که اختلاف بین چند جامعه آماری، ارزیابی شود. با توجه به پراکندگی کل داده‌ها، آنالیز واریانس بین گروه‌های مختلف در این روش امکان‌پذیر است. به این ترتیب، می‌توان برابر بودن میانگین داده‌ها را بین گروه‌های مختلف آزمود. در جدول ۵، نتایج آماری بررسی تصفیه پذیری پساب صنایع غذایی بیرون‌بر با استفاده از منعقد کننده FeCl_3 بررسی شده است.

جدول (۵) نتایج ANOVA برای مدل سطح پاسخ مربعی

منبع	مجموع مربعات	درجه آزادی	میانگین مربعات	F	مقدار P	معنی دار
مدل	۵۸۹/۳۱	۱۴	۴۲/۰۹	۱۹/۴۸	۰/۰۰۰۸	
A- FeCl_3	۱۶/۴۰	۱	۱۶/۴۰	۷/۵۹	۰/۰۳۳۱	
B-lime	۴/۹۲	۱	۴/۹۲	۲/۲۸	۰/۱۸۱۹	
C-Poly	۲/۷۹	۱	۲/۷۹	۱/۹۲	۰/۲۹۹۴	
D-pH	۲/۱۸	۱	۲/۱۸	۱/۰۱	۰/۳۵۳۸	
AB	۴/۲۲	۱	۴/۲۲	۱/۹۵	/۲۱۱۷	
AC	۲۱/۹۸	۱	۲۱/۹۶	۱۰/۱۷	۰/۰۱۸۹	
AD	۲/۹۱	۱	۲/۹۱	۱/۳۵	۰/۲۹۰۰	
BC	۱۲/۳۶	۱	۱۲/۳۶	۵/۷۲	۰/۰۵۳۹	
BD	۹/۵۴	۱	۹/۵۴	۴/۴۲	۰/۰۸۰۳	
CD	۱۰/۵۸	۱	۱۰/۵۸	۴/۹۰	۰/۰۶۸۹	
A ²	۳۴۱/۵۷	۱	۳۴۱/۵۷	۱۵۸/۰۹	<۰/۰۰۰۱	
B ²	۳۳/۸۲	۱	۳۳/۸۲	۱۵/۶۵	۰/۰۰۷۵	
C ²	۴۷/۹۱	۱	۴۷/۹۱	۲۲/۱۸	۰/۰۰۳۳	
D ²	۴۹/۵۰	۱	۴۹/۵۰	۲۲/۹۱	۰/۰۰۳۰	
باقی مانده	۱۲/۹۶	۶	۲/۱۶			
شانس تشابه	۷/۷۲	۱	۷/۷۲	۷/۳۵	۰/۰۴۲۲	معنی دار
خطای خالص	۵/۲۵	۵	۱/۰۵			
همبستگی کل	۶۰۲/۲۷	۲۰				

شاخص‌های رگرسیونی منعقد کننده‌ی آهن (III) کلرید

جهت بررسی مطابقت داده‌ها و مقایسه ضرایب رگرسیون، نتایج حاصل از بررسی شاخص‌های رگرسیونی تصفیه پساب صنایع غذایی به روش انعقاد و لخته‌سازی با استفاده از منعقد کننده FeCl_3 با توجه به طراحی آزمایش انجام گرفته به مدل CCD در جدول ۶ نشان داده شده است.

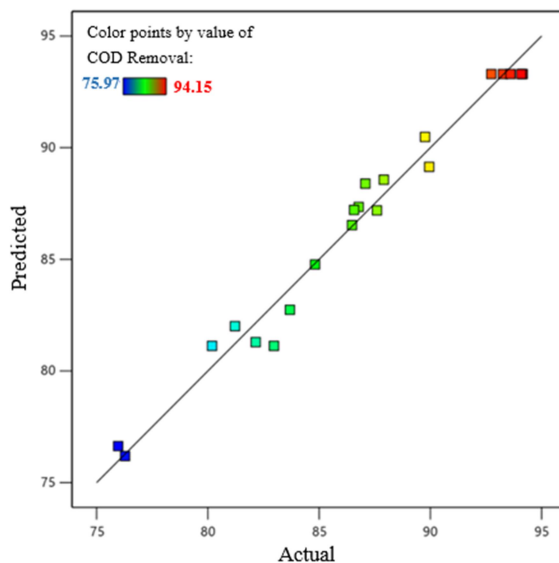
^۱ Analysis of Variance

جدول (۶) شاخص های رگرسیونی سطح پاسخ مربعی

۰/۹۷۸۵	R^2	۱/۴۷	انحراف استاندارد
۰/۹۶۸۳	محاسباتی R^2	۸۶/۵۴	میانگین
۰/۹۵۳۵	R^2 پیش‌بینی شده	۱/۷۰	ضریب تغییرات (%)
۱۳/۷۷۲۶	صحت		

سنجش میزان مطابقت داده های تجربی و پیش‌بینی شده (ارزیابی شایستگی مدل)

نمودار مقادیر پیش‌بینی شده مدل در مقابل مقادیر واقعی حاصل از آزمایش‌ها در شکل ۷ آورده شده است. استفاده از نمودار احتمال نرمال برای باقی‌مانده‌ها جهت ارزیابی شایستگی مدل توسعه یافته بسیار سودمند است. این نمودارها یک ابزار مهم تشخیص جهت کشف و توضیح انحراف سیستماتیک مبنی بر این فرض که خطاهای به طور نرمال توزیع شده‌اند و مستقل از یکدیگر می‌باشند؛ هستند. هر چه انحراف از خط نیمساز کمتر باشد نشانگر تطابق بهتر پاسخ‌های پیش‌بینی شده از مدل‌ها با پاسخ‌های واقعی است. در حالت ایده‌آل مقادیر پیش‌بینی شده پاسخ‌ها با مقادیر واقعی آن‌ها بسیار به هم نزدیک‌اند.



شکل (۷) نمودار مقدار تجربی پاسخ در مقابل پاسخ‌های پیش‌بینی شده در فرآیند حذف غلظت COD با استفاده از منعقدکننده‌ی FeCl_3

مقایسه آنالیز پساب تصفیه شده با استانداردهای محیط زیست

پس از بررسی اثر منعقد کننده FeCl_3 و پارامترهای تأثیرگذار بر فرایند انعقاد و لخته‌سازی و تعیین شرایط بهینه با بالاترین راندمان حذف COD از پساب غذای بیرونبر، پارامترهای دیگر از قبیل نیترات، فسفات، آمونیاک، کدبورت، منگنز، آهن، دترجنت، روغن و چربی، هدایت الکتریکی و TDS نیز در پساب تصفیه شده آنالیز شد و با مقادیر پارامترهای ذکر شده در پساب خام (قبل از تصفیه) مورد مقایسه قرار گرفت که در جدول ۷ نشان داده شده است. همچنین، مقادیر استاندارد محیط زیست جهت تخلیه پساب به محیط پذیرنده نیز در جدول ۷ قرار داده شد و با مقادیر غلظتی پساب تصفیه شده مقایسه گردید.

جدول (۷) مشخصات عمومی پساب قبل و بعد از تصفیه، راندمان و مقادیر مجاز تخلیه به آب‌های سطحی و مقادیر مجاز

آلاینده	نیترات (mg/L)	۱۴۲/۵۳	۱۴/۶۹	%۸۹/۷۶	۱۰	مقادیر مجاز مصارف آب‌های سطحی	مقادیر مجاز تخلیه به کشاورزی
فسفات (mg/L)	۷	۰	%۱۰۰	۶			-
آمونیاک (mg/L)	۵/۸	۰/۴۸	%۹۱/۷۲	۲/۵			-
کدورت (NTU)	۵۸/۳۰	۰/۰۰	%۱۰۰	۵۰		۵۰	
منگنز (mg/L)	۰/۵	۰/۰۰	%۱۰۰	۱		۱	
آهن (mg/L)	۳	۰/۰۰	%۱۰۰	۳		۳	
دترجنت (mg/L)	۵/۳۳	۱/۲۶	%۷۶/۳۶	۱/۵		۰/۵	
چربی و روغن (mg/L)	۱۴۸	۱۰	%۹۳/۲۶	۱۰		۱۰	
EC (mS/cm)	۱/۳۳۹	۰/۱۱۷	%۹۱/۲۶	-		-	
TDS (mg/L)	۸۷۵	۷۴/۹	%۹۱/۷۲	مقدار TDS محیط اطراف را بیش از ۱۰ درصد افزایش ندهد.		-	
COD (mg/L)	۱۸۰۰	۱۲۳/۹۷	%۹۳/۱۱	۶۰ (لحظه‌ای ۱۰۰)		۲۰۰	

بحث در نتایج

بررسی تأثیر پارامترهای عملیاتی در فرآیند تصفیه پساب صنایع غذایی

پس از بررسی‌های آزمایشگاهی و دستیابی به نتایج حاصل از پارامترهای عملیاتی در فرآیند تصفیه پساب صنایع غذایی، نتایج حاصل مورد بحث و ارزیابی قرار گرفت.

اثر متقابل pH و غلظت منعقد کننده FeCl_3

با توجه به شکل‌های ۱ و ۲، افزایش بیش از مقدار بهینه‌ی منعقد کننده FeCl_3 ، باعث معکوس شدن بار آن‌ها و افت راندمان حذف COD شده است. در مواردی که مکانیسم غالب انعقاد، جذب و خنثی‌سازی بار است؛ با بیشتر شدن منعقد کننده از مقداری که با نام غلظت بحرانی منعقد کننده^۱ (CCC) شناخته می‌شود؛ درصد حذف، افت می‌کند و دلیل آن معکوس شدن بار سطحی کلوویدها به دلیل جذب بیش از حد محصولات هیدرولیز است (AbdollahzadehSharghi, Yadegari, & Davarpanah, 2018; Khettaf, Boumaraf, Benmahdi, Bouhidel, & Bouhelassa, 2021) استفاده از منعقد کننده FeCl_3 تا غلظت مشخصی، راندمان حذف را افزایش داده و پس از غلظت بحرانی، کاهش راندمان حذف (Louhichi, Bousselmi, Ghrabi, Khouni, & Research, 2019)) مشاهده شده است (Davarpanah, 2018; Khettaf, Boumaraf, Benmahdi, Bouhidel, & Bouhelassa, 2021) در بررسی اثر pH در راندمان تصفیه پساب صنایع غذایی با استفاده از منعقد کننده FeCl_3 می‌توان مشاهده کرد، افزایش pH تا غلظت مشخصی، تأثیر مثبت بر فرایند تصفیه داشته و پس از آن، به دلیل تغییر ماهیت فرایند انعقاد، راندمان حذف را کاهش می‌دهد. در حقیقت، pH یک عامل مؤثر در واکنش‌های شیمیابی و بیوشیمیابی و تشکیل ترکیبات فلزی است. تأثیر pH اولیه محیط، بسته به نوع فرایند مورد استفاده، برای تصفیه و نوع آلاینده بسیار متفاوت است. در حقیقت، در pH‌های بالا، حلایت

^۱ Critical Concentration of Coagulant

هیدروکسیدهای آهن کاهش می‌یابد و این ترکیبات با رسوب کردن، باعث حذف کلریدهایی که جذب آن‌ها شده‌اند، می‌شوند. با کمتر شدن pH از مقدار بهینه نیز، هیدروکسیدهای آهن، حل شده و باعث ورود مجدد کلریدهایی که جذب آن‌ها شده بودند به آب می‌شوند و به این صورت راندمان تصفیه کاهش می‌یابد (Akbal, Camci, & Technology, 2010) بررسی اثر متقابل دو پارامتر نیز تأثیر مستقیم غلظت منعقدکننده FeCl_3 و pH را تا مقدار مشخص و بهینه برای هردو پارامتر نشان داده و پس از آن کاهش راندمان مشاهده می‌شود. در نتیجه دو پارامتر بر یکدیگر اثر مستقیم داشته و هم‌سو می‌باشند. بالاترین راندمان تصفیه نیز در حدود ۹۴ درصد با غلظت باقیمانده COD برابر 101 mg/L در غلظت منعقدکننده برابر 1250 mg/L pH برابر $7/5$ و غلظت کمکمنعقدکننده پلیمری $1/5 \text{ mg/L}$ مشاهده شد.

اثر متقابل غلظت منعقد کننده FeCl_3 و کمک منعقد کننده آهک

باتوجه به شکل‌های ۳ و ۴ که مقادیر حذف غلظتی و راندمان حذف COD پساب را نشان می‌دهند؛ افزایش غلظت کمکمنعقدکننده آهک تا غلظت مشخصی که در محدوده غلظتی 60 mg/L تا 65 است؛ سبب افزایش راندمان حذف COD از پساب صنایع غذایی شده و پس از این غلظت، به دلیل بالا بردن زیاد pH محیط (قلیایی نمودن پساب) و تبدیل یون‌های Fe^{3+} به هیدروکسید آهن، موجب کاهش راندمان حذف ترکیبات آلی و معدنی و درنتیجه، کاهش راندمان حذف COD مشاهده می‌شود (Barbera & Gurmari, 2018; Qasim, Mane, & Industry, 2013). افزایش غلظت منعقدکننده FeCl_3 نیز تا غلظت بحرانی، افزایش راندمان حذف را درپی داشته و پس از آن، کاهش راندمان حذف مشاهده شده است. باتوجه به نتایج نشان داده در شکل‌های ۳ و ۴ و بررسی هرکدام از پارامترهای تأثیرگذار، دو پارامتر غلظت منعقدکننده و کمکمنعقدکننده آهک، اثر هم‌سو و مستقیم داشته و با افزایش هردو پارامتر تا غلظت مشخصی، افزایش راندمان حذف و پس از آن، کاهش راندمان حذف و افزایش غلظت COD مشاهده شده است. نهایتاً، مقادیر بهینه منعقدکننده و کمکمنعقدکننده، به ترتیب برابر 1250 mg/L و $62/5 \text{ mg/L}$ به عنوان مقادیر غلظتی بهینه با بالاترین راندمان حذف COD حدود ۹۴ درصد انتخاب شدند.

اثر متقابل غلظت منعقد کننده FeCl_3 و کمک منعقد کننده پلی‌آکریل آمید

شکل‌های ۵ و ۶، تأثیر مثبت کمکمنعقدکننده در فرایند تصفیه را نشان می‌دهد. باتوجه به نتایج نشان داده شده؛ غلظت منعقدکننده و کمکمنعقدکننده (لخته‌ساز) اثر قابل توجهی بر فرایند انعقاد/لخته‌سازی در تصفیه‌ی پساب صنایع غذایی دارد. غلظت کمکمنعقدکننده تا مقدار مشخصی سبب افزایش راندمان حذف COD شده و پس از آن، افزایش اندکی در راندمان حذف مشاهده شده است. افزایش راندمان حذف با افزایش غلظت کمکمنعقدکننده، به دلیل چسباندن ذرات معلق ایجاد شده به یکدیگر و جداسازی بهتر لخته‌ها از محیط پساب می‌شود (Khouni, Louhichi, Ghrabi, Moulin, & Protection, 2020). در حقیقت، کمکمنعقدکننده‌ها با ایجاد پل بین ذرات ریز لخته حاصل از فعالیت منعقدکننده‌ها، آن‌ها را به صورت لخته‌های درشت و سنگین در آورده و عمل تهنشینی را سرعت می‌بخشد (Chen, Eraghi Kazzaz, AlipoorMazandarani, Hosseinpour Feizi, & Fatehi, 2018; Ho, Chua, & Chong, 2020). افزایش غلظت منعقدکننده FeCl_3 نیز، همانطور که در بررسی‌های قبلی انجام گرفت؛ تا غلظت بحرانی، سبب افزایش راندمان حذف COD شده و پس از آن به دلیل معکوس شدن بار سطحی کلریدها و جذب بیش از حد محصولات هیدرولیز، کاهش راندمان حذف

COD و درنتیجه افزایش غلظت باقیمانده COD در پساب تصفیه شده مشاهده شد. بررسی اثر متقابل غلظت منعقدکننده FeCl₃ و کمکمنعقدکننده پلیمری پلی‌اکریل‌آمید نیز بهدلیل یکسان بودن رفتار شیمیایی، دارای اثر متقابل مستقیم و همسو بوده و افزایش هردو پارامتر تا غلظت مشخصی افزایش راندمان حذف COD و پس از آن سبب کاهش راندمان شد. نتایج نشان داد که بیشترین میزان حذف غلظت COD زمانی حاصل شد که کمکمنعقدکننده پلی‌الکتروولیت در غلظت ۱/۵ mg/L و غلظت منعقدکننده FeCl₃ برابر ۱۲۵۰ mg/L مورد استفاده قرار گرفت.

بحث در نتایج آماری ANOVA

با توجه به نتایج نشان داده شده در جدول (۵)، مقدار F-value برابر با ۱۹/۴۸، نشان‌دهنده مطابقت خوب این مدل با نتایج آزمایشگاهی است. در این مدل، تنها ۰/۰۰۰۸٪ احتمال خطأ و عدم مطابقت داده‌ها وجود دارد که این فراوانی می‌تواند به علت نویز ایجاد شود. مقادیر P-value کمتر از ۰/۰۵۰۰ نیز بیانگر معنی‌دار بودن آزمایش است. همچنین، مقادیر بیشتر از ۰/۰۱۰۰ نشان می‌دهد که شرایط مدل معنی‌دار نیست (Turan, Erkan, Engin, & Protection, 2017). اگر تعدادی شرایط نامطلوب در مدل وجود داشته باشد (به جز موارد موردنیاز برای تأیید مراحل آزمایش)، ممکن است کاهش تعداد مراحل مدل، مدل را بهبود بخشد. عدم تناسب F-value در مقدار ۷/۳۵ به معنی عدم پردازش قابل توجه است. تنها ۴/۲۲ درصد احتمال دارد که عدم تناسب F-value به دلیل نویز رخ دهد (Khoshvaght, Delnavaz, & Leili, 2021; Sibiya, Amo-, Duodu, Tetteh, & Rathilal, 2022)

بررسی شاخص‌های رگرسیونی

بررسی‌های آماری شاخص‌های رگرسیونی جدول ۶ بیانگر این موضوع است که R^2 پیش‌بینی شده با مقدار ۰/۹۵۳۵ که میزان همبستگی پیش‌بینی شده نرم‌افزار است؛ مطابقت بهتری با داده‌های حاصل از نتایج آزمایشگاهی و همبستگی تجربی دارد. همچنین، با توجه به R^2 کل که دارای میانگین کلی برابر ۸۶/۵۴ در مدل مورد استفاده است؛ پیش‌بینی کننده بهتری برای پاسخ نسبت به مدل فعلی است. در برخی موارد، یک مدل مرتبه بالاتر نیز ممکن است پیش‌بینی بهتری ارائه دهد (Arola, Ward, Mänttäri, Kallioinen, & Batstone, 2019).

"صحت" نسبت سیگنال به نویز را اندازه‌گیری می‌کند و زمانیکه این نسبت بیشتر از ۴ باشد؛ آزمون انجام شده مطلوب است (Vijayan, Saravanane, Sundararajan, & Protection, 2017). در نتیجه نسبت مشاهده شده در این آزمون که برابر با ۱۳/۷۷۳ است؛ نشان‌دهنده یک سیگنال مناسب است و این مدل می‌تواند برای انجام فضای طراحی استفاده شود.

ارزیابی شایستگی مدل

شکل ۷، نمودار مقدار تجربی پاسخ در مقابل پاسخ‌های پیش‌بینی شده به‌وسیله‌ی مدل مرتبه‌ی دوم را نشان می‌دهد. در نمودار رسم شده، نزدیکی نقاط به خط راست با زاویه‌ی ۴۵ درجه، بیانگر کیفیت مناسب مدل اجرا شده است و می‌توان به نتایج حاصل از طراحی آزمایش اعتماد نمود. در حقیقت، با استفاده از منعقدکننده FeCl₃، مقادیر پیش‌بینی شده توسط نرم‌افزار به نتایج کسب شده به روش تجربی و واقعی نزدیک بوده و مطابقت خوبی بین نتایج وجود دارد. در نتیجه، آزمایش دارای ضریب رگرسیون بالا است و می‌توان به نتایج اعتماد نمود.

مقایسه پیساب تصفیه شده با استانداردهای محیط زیست

با توجه به نتایج نشان داده شده در جدول ۷ و مقایسه نتایج حاصل از تصفیه پساب غذای بیرون بر با مقادیر غلظتی استاندارد محیط زیست، مقدار COD پساب تصفیه شده که حدود 124 mg/L است؛ قابل تخلیه به زمین‌های کشاورزی جهت آبیاری مزارع بوده و با تصفیه تکمیلی می‌توان به آبهای سطحی یا چاه جاذب نیز تخلیه نمود. همچنین، آنالیز پارامترهای مهم محیط زیستی نیز نشان داد که مقادیر غلظتی پارامترهای فسفات، آمونیاک، کدروت، منگنز، آهن، چربی و روغن و TDS به مقادیر استاندارد تخلیه به هرسه محیط پذیرنده از قبیل آبهای سطحی، چاه جاذب و زمین‌های کشاورزی رسیده است. درنهایت با بررسی تمامی پارامترهای مهم محیط زیستی، پساب تصفیه شده صنایع غذایی حاضر، قابل تخلیه به زمین‌های کشاورزی جهت آبیاری مزارع بوده و با اینکار می‌توان علاوه بر صرفه‌جویی در مصرف آب، با توجه به مقادیر استاندارد باقیمانده نیترات و آمونیاک، مواد معدنی موردنیاز زمین‌های کشاورزی را تأمین کرد.

نتیجہ گیری

در این پژوهش به بررسی میزان تصفیه‌پذیری پساب کارخانه‌ی صنایع غذایی بیرونبر با فرآیند شیمیایی انعقاد و لخته‌سازی پرداخته شد. پس از تعیین محدوده پارامترهای تأثیرگذار، طراحی آزمایش به کمک نرمافزار DOE، با مدل مرکب مرکزی (CCD) انجام شد. در این آزمایش‌ها، مقدار منعقدکننده‌ی آهن (III) کلرید در محدوده غلظتی mg/L ۵۰۰-۲۰۰۰ و کمک منعقدکننده‌های آهک و پلی‌الکتروولیت به ترتیب در مقادیر غلظتی mg/L ۱۰۰-۲۵ و ۲/۵-۰/۵ تعیین شد. همچنین، pH اولیه بین ۵-۱۰ انتخاب گردید. جهت تعیین مقادیر بهینه، آنالیز COD به عنوان آزمون هدف انتخاب شد. پس از آزمایش‌های انجام شده و مشخص شدن شرایط بهینه، نهایتاً سنجش آلاینده‌های فیزیکی و شیمیایی انجام گرفت و داده‌های حاصل، بررسی آماری شد. نتایج بررسی شرایط بهینه‌ی تک‌عامله و اثر متقابل داده‌ها با کمک نرمافزار طراحی آزمایش نشان داد که منعقدکننده‌ی آهن (III) کلرید، منعقدکننده‌ی مناسبی برای تصفیه‌ی پساب صنایع غذایی غذای بیرون‌بر بوده و بیشترین میزان حذف غلظت COD برابر با میزان ۹۴/۱۵٪ را در مقدار منعقدکننده برابر mg/L ۱۲۵۰ و مقادیر کمک منعقد کننده پلیمری و آهکی به ترتیب برابر mg/L ۱/۵ و mg/L ۶۲/۵ نشان داد. در نتیجه‌ی این آزمایش‌ها، pH ۷/۵ حاصل شد. بررسی‌های آماری نیز نشان داد که مقدار F-value ۱۹/۴۸ در مدل نشان دهنده‌ی مطابقت خوب این مدل با نتایج آزمایشگاهی بوده و همچنین، مقادیر P-value کمتر از ۰/۰۵۰۰ نیز بیانگر معنی دار بودن آزمایش است. همچنین، مطابقت خوبی بین نتایج واقعی آزمایشگاه و نتایج پیش‌بینی شده نرمافزار مشاهده شد. در عین حال، این آزمایش‌ها نشان داد که منعقد کننده FeCl₃، علاوه بر کاهش قابل توجه COD، باعث حذف چشم‌گیر مقدار آلاینده‌های پساب مانند آمونیاک، نیترات، فسفات و ... نیز شده و پساب تخلیه شده مطابق با استانداردهای تخلیه محیط زیستی به زمین‌های کشاورزی، قابل تخلیه برای آبیاری مزارع کشاورزی است.

منابع

- AbdollahzadehSharghi, E., Yadegari, F., & Davarpanah, L. J. J. o. E. H. E. (2018). Investigation of Coagulation and Flocculation Process in Chemical Pre-Treatment of Livestock Wastewater. *6*(1), 99-110.

Abubakar, M., Okonkwo, P., Edomwonyi-Otu, L. J. N. J. o. E. S., & Research, T. (2023). KINETIC STUDIES AND OPTIMIZATION OF PROCESS PARAMETERS FOR ACTIVATED SLUDGE TREATMENT OF TANNERY WASTEWATER USING DESIGN EXPERT. *9*(2), 96-108.

- Akbal, F., Camci, S. J. C. E., & Technology. (2010). Comparison of electrocoagulation and chemical coagulation for heavy metal removal. *33*(10), 1655-1664.
- Alkhamisi, S. A., Ahmed, M. J. E. C., & Change, F. o. A. i. t. G. C. C. C. F. A. i. t. C. o. C. (2014). Opportunities and challenges of using treated wastewater in agriculture .۱۰۹-۱۲۳.
- Amin, A., Al Bazedi, G., & Abdel-Fatah, M. A. J. A. S. E. J. (2021). Experimental study and mathematical model of coagulation/sedimentation units for treatment of food processing wastewater. *12*(1), 195-203.
- Arola, K., Ward, A., Mänttäri, M., Kallioinen, M., & Batstone, D. J. W. r. (2019). Transport of pharmaceuticals during electrodialysis treatment of wastewater. *161*, 496-504.
- Atta, H. A., Hummadi, K. K., M-Ridha, M. J. J. D., & TREATMENT, W. (2022). The application of response surface methodology and Design-Expert® for analysis of ciprofloxacin removal from aqueous solution using raw rice husk: kinetic and isotherm studies. *248*, 203-216.
- Balbinoti, J. R., dos Santos Junior, R. E., de Sousa, L. B. F., de Jesus Bassetti, F., Balbinoti, T. C .V., Jorge, R. M. M., & de Matos Jorge, L. M. J. J. o. W. P. E. (2023). Plant-based coagulants for food industry wastewater treatment. *52*, 103525.
- Barbera, M., & Gurnari, G. (2018). *Wastewater treatment and reuse in the food industry*: Springer.
- Bayuo, J ,Abukari, M. A., & Pelig-Ba, K. B. J. A. W. S. (2020). Optimization using central composite design (CCD) of response surface methodology (RSM) for biosorption of hexavalent chromium from aqueous media. *10*(6), 1-12.
- Chen, J., Eraghi Kazzaz, A., AlipoorMazandarani, N., Hosseinpour Feizi, Z., & Fatehi, P. J. M. (2018). Production of flocculants, adsorbents, and dispersants from lignin. *23*(4), 868.
- Fitriani, N., Mohamed, R. M. S. R., Affandi, M., Nurdin, R. R., & Kurniawan, S. B. J. J. o. E. E. (2023). Performance of intermittent slow sand filter processing units in treating food court wastewater. *24*(4).
- Gasemloo, S., Khosravi, M., Sohrabi, M. R., Dastmalchi, S., & Gharbani, P. J. J. o. C. P. (2019). Response surface methodology (RSM) modeling to improve removal of Cr (VI) ions from tannery wastewater using sulfated carboxymethyl cellulose nanofilter. *208*, 736-742.
- Gulzamana, H., & Baloo, L. J. A. o. t. R. S. f. C. B. (2021). Design Expert Application in the Optimization of Cadmium (II) by Chitosan from Produced water. *25*(6), 4687-4695.
- Hernández, K., Muro, C., Ortega, R. E., Velazquez, S., & Riera, F. J. E. T. (2021). Water recovery by treatment of food industry wastewater using membrane processes. *42*(5), 775-788.
- Ho, Y.-C., Chua, S.-C., & Chong, F.-K. (2020). Coagulation-flocculation technology in water and wastewater treatment. In *Handbook of Research on Resource Management for Pollution and Waste Treatment* (pp. 432-457): IGI Global.
- Hu, R., Liu, Y., Zhu, G., Chen, C., Hantoko, D., & Yan, M. J. J. o. W. P. E. (2022). COD removal of wastewater from hydrothermal carbonization of food waste: Using coagulation combined activated carbon adsorption. *45*, 102462.
- Jia, X., Li, M., Wang, Y., Wu, Y., Zhu, L., Wang, X., . . . Ecotechnology. (2020). Enhancement of hydrogen production and energy recovery through electro-fermentation from the dark fermentation effluent of food waste. *1*, 100006.
- Kaur, B., Garg, R. K., & Singh, A. P. J. J. o. E. T. T. (2021). Treatment of wastewater from pulp and paper mill using coagulation and flocculation. *9*(1), 158-163.
- Khettaf, S., Boumaraf, R., Benmahdi, F., Bouhidel, K.-E., & Bouhelassa, M. J. A. L. (2021). Removal of the neutral dissolved organic matter (NDOM) from surface water by coagulation/flocculation and nanofiltration. *54*(17), 2713-2726.

- Khoshvaght, H., Delnavaz, M., & Leili, M. J. J. o. W. P. E. (2021). Optimization of acetaminophen removal from high load synthetic pharmaceutical wastewater by experimental and ANOVA analysis. *42*, 102107.
- Khouni, I., Louhichi, G .,Ghrabi, A., Moulin, P. J. P. S., & Protection, E. (2020). Efficiency of a coagulation/flocculation–membrane filtration hybrid process for the treatment of vegetable oil refinery wastewater for safe reuse and recovery. *135*, 323-341.
- Louhichi, G., Bousselmi, L., Ghrabi, A., Khouni, I. J. E. S., & Research, P. (2019). Process optimization via response surface methodology in the physico-chemical treatment of vegetable oil refinery wastewater. *26*, 18993-19011.
- Mateus, A., Torres, J., Marimon-Bolivar, W., Pulgarín, L. J. W. R., & Industry. (2021). Implementation of magnetic bentonite in food industry wastewater treatment for reuse in agricultural irrigation. *26*, 100154.
- Muhamad Ng, S. N., Idrus, S., Ahsan, A., Tuan Mohd Marzuki, T. N., & Mahat, S. B. J. M .(۲۰۲۱) . Treatment of wastewater from a food and beverage industry using conventional wastewater treatment integrated with membrane bioreactor system: A pilot-scale case study. *11*(6), 456.
- Pervez, M. N., Mishu, M. R., Stylios, G. K., Hasan, S. W., Zhao, Y., Cai, Y., . . . Naddeo, V. J. W. (2021). Sustainable treatment of food industry wastewater using membrane technology: A short review. *13*(23), 3450.
- Popoola, L. T. J. H. (2019). Nano-magnetic walnut shell-rice husk for Cd (II) sorption: design and optimization using artificial intelligence and design expert. *5*(8).
- Qasim, W., Mane, A. J. W. R., & Industry. (2013). Characterization and treatment of selected food industrial effluents by coagulation and adsorption techniques. *4*, 1-12.
- Shrivastava, V., Ali, I., Marjub, M. M., Rene, E. R., & Soto, A. M. F. J. C. (2022). Wastewater in the food industry: Treatment technologies and reuse potential. *293*, 133553.
- Sibya, N., Amo-Duodu, G., Tetteh, E. K., & Rathilal, S. J. M. T. P. (2022). Response surface optimisation of a magnetic coagulation process for wastewater treatment via Box-Behnken. *62*, S122-S126.
- Turan, N. B., Erkan, H. S., Engin, G. O. J. P. S., & Protection, E. (2017). The investigation of shale gas wastewater treatment by electro-Fenton process :Statistical optimization of operational parameters. *109*, 203-213.
- Vijayan, G., Saravanane, R., Sundararajan, T. J. J. o. G., & Protection, E. (2017). Study on the effect of variation of flow in sequencing batch reactor using PCA and ANOVA. *5*(4), 56-74.
- طاهریون، & پور، م. (۲۰۱۹). ارزیابی فرآیند انعقاد و لخته سازی در حذف فلزات سنگین از پساب شیمیایی مجتمع فولاد مبارکه. *علوم و تکنولوژی محیط زیست*. *۶*(۲۱)، ۴۶-۶۰.
- کوهستانی، اسلامی، زاده، ک.، & رامین. (۲۰۱۹). بهینهسازی آماری با استفاده از طراحی مرکزی برای فرایند سیلیس زدایی از زئولیت طبیعی جهت جذب آب از سوخت دیزل. *سوخت و احتراق*. *۱۲*(۴)، ۹۷-۱۱۰.

Filename: 1403- 9(15) 47-57.docx
Directory: C:\Users\sajede\Desktop\New folder (4)\New folder (3)
Template: C:\Users\sajede\AppData\Roaming\Microsoft\Templates\Normal.dotm
Title:
Subject:
Author: PC1
Keywords:
Comments:
Creation Date: 9/12/2024 12:59:00 PM
Change Number: 14
Last Saved On: 9/12/2024 1:05:00 PM
Last Saved By: sajede
Total Editing Time: -17 Minutes
Last Printed On: 9/12/2024 1:06:00 PM
As of Last Complete Printing
Number of Pages: 18
Number of Words: 9,037 (approx.)
Number of Characters: 51,511 (approx.)